

物 理

注 意

1. 問題は全部で 18 ページである。
2. 解答用紙に氏名・受験番号を忘れずに記入すること。(ただし、マーク・シートにはあらかじめ受験番号がプリントされている。)
3. 解答はすべて解答用紙に記入すること。
4. 問題冊子の余白は計算に利用してよい。
5. 解答用紙は必ず提出のこと。この問題冊子は提出する必要はない。

マーク・シート記入上の注意

1. 解答用紙(その 1)はマーク・シートになっている。H B の黒鉛筆またはシャープペンシルを用いて記入すること。
2. 解答用紙にあらかじめプリントされた受験番号を確認すること。
3. 解答する記号の \bigcirc を塗りつぶしなさい。 \bigcirc で囲んだり \times をつけたりしてはいけない。

解答記入例(解答が 1 のとき)

1



4. 一度記入したマークを消す場合は、消しゴムでよく消すこと。 \times をつけても消したことにならない。
5. 解答用紙をよごしたり、折り曲げたりしないこと。

- 1** 以下の設問について、空欄(1)~(13)に当てはまるもっとも適切な解答を解答群より選び、解答用紙(その 1)の該当する記号をマークせよ。問 1 の解答は解答用紙(その 2)の図 1—1 に記入せよ。小球の運動は紙面内に限られ、小球と階段や床との衝突は弾性衝突である。小球はじゅうぶんに小さく、階段の角には衝突しないとし、また、小球と階段や床との間の摩擦は無いものとする。空気抵抗は無視できる。重力の向きは鉛直下向きで、重力加速度の大きさは g とする。必要があれば表 1 を利用すること。

3段からなる階段が水平な床の上に固定されていた。図 1—1 は真横から見た階段を示し、水平な床に沿って図の右向きに x 軸、鉛直方向上向きに y 軸とする。すべての階段は水平で、階段の段差はすべて等しく h であり、また段の幅は等しく l であった。

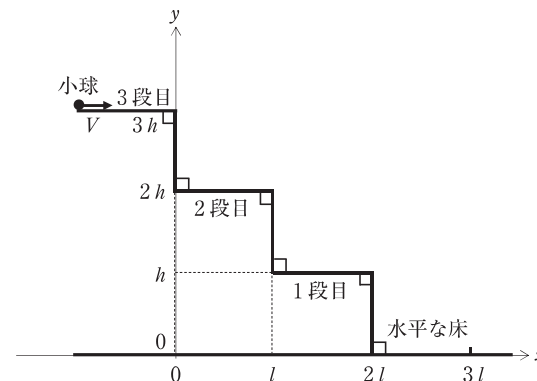


図 1—1

ここで、3段目に置かれた質量が m で大きさの無視できる小球を、 x 軸の正の向きに速さ V で打ち出したところ、小球は 2段目、1段目の階段で 1回ずつ衝突をした後、 $y = 0$ 、 $2l < x \leq 3l$ の範囲の床へ落下することが観察された。このとき V の満たすべき条件を以下の手順で求めてみよう。

まず、小球が位置 $(x, y) = (0, 3h)$ を通過した時刻を $t = 0$ とする。時刻

$t = 0$ 以降に小球は放物運動をし、2段目に衝突した。衝突の時刻を t_1 とする
と、 V の取り得る上限は

$$V < \boxed{(1)} \times \frac{l}{t_1} \quad (1-1)$$

で与えられる。なお、時刻 t_1 は $t_1 = \boxed{(2)}$ である。

(1)の解答群

- | | | | | |
|-----------------|-----------------|-----------------|-----|-----------------|
| ① $\frac{1}{4}$ | ② $\frac{1}{3}$ | ③ $\frac{1}{2}$ | ④ 1 | ⑤ $\frac{4}{3}$ |
| ⑥ $\frac{3}{2}$ | ⑦ $\frac{5}{3}$ | ⑧ 2 | ⑨ 3 | ⑩ 4 |

(2)の解答群

- | | | | |
|-------------------------|--------------------------|-------------------------|-------------------------|
| ① $\sqrt{\frac{h}{g}}$ | ② $\sqrt{\frac{g}{h}}$ | ③ \sqrt{gh} | ④ $\sqrt{\frac{2h}{g}}$ |
| ⑤ $\sqrt{\frac{2g}{h}}$ | ⑥ $\sqrt{2gh}$ | ⑦ $\sqrt{\frac{3h}{g}}$ | ⑧ $\sqrt{\frac{3g}{h}}$ |
| ⑨ $2\sqrt{\frac{h}{g}}$ | ⑩ $2\sqrt{\frac{3h}{g}}$ | | |

続いて、時刻 t_1 に2段目に衝突した小球の、その直後の放物運動について考
える。この放物運動において小球が最高点に達した時刻を t_2 とすると、時刻 t_1
を用いて $t_2 = \boxed{(3)} \times t_1$ である。その後、小球が2段目に2回目の衝突を
しないためには、落下中の小球の軌道上の $y = 2h$ における x 座標が l より大き
くなければならない。このことから

$$V > \boxed{(4)} \times \frac{l}{t_1} \quad (1-2)$$

を得る。

(3)の解答群

- | | | | | |
|-----------------|------------------------|-----------------|------------------------|------------------------|
| ① $\frac{1}{3}$ | ② $\frac{\sqrt{3}}{3}$ | ③ $\frac{2}{3}$ | ④ $\frac{\sqrt{2}}{2}$ | ⑤ $\frac{\sqrt{3}}{2}$ |
| ⑥ 1 | ⑦ $\frac{3}{2}$ | ⑧ 2 | ⑨ $\frac{5}{2}$ | ⑩ 3 |

(4)の解答群

- | | | | | |
|-----------------|-----------------|-----------------|-----|-----------------|
| ① $\frac{1}{4}$ | ② $\frac{1}{3}$ | ③ $\frac{1}{2}$ | ④ 1 | ⑤ $\frac{4}{3}$ |
| ⑥ $\frac{3}{2}$ | ⑦ $\frac{5}{3}$ | ⑧ 2 | ⑨ 3 | ⑩ 4 |

その後小球は、時刻 t_3 に1段目に衝突した。時刻 t_1 を用いると、
 $t_3 = \boxed{(5)} \times t_1$ である。小球が1段目に衝突するためには、1回目の衝突
後的小球がたどる軌道の $y = h$ における x 座標が $x < 2l$ でなければならない。
このことから

$$V < \boxed{(6)} \times \frac{l}{t_1} \quad (1-3)$$

を得る。(1-1)式、(1-2)式、(1-3)式より、 V が満たすべき範囲は、

$$\boxed{(4)} \times \frac{l}{t_1} < V < \boxed{(7)} \times \frac{l}{t_1} \quad (1-4)$$

であることがわかる。

(5)の解答群

- | | | |
|-----------------------------------|---------------------|-----------------------------------|
| ① $\sqrt{2}$ | ② $(1 + \sqrt{2})$ | ③ $(1 + 2\sqrt{2})$ |
| ④ $(2 + \sqrt{2})$ | ⑤ $(2 + 2\sqrt{2})$ | ⑥ $(2 + 3\sqrt{2})$ |
| ⑦ $(3 + \sqrt{3})$ | ⑧ $(3 + 2\sqrt{3})$ | ⑨ $\frac{2 + \sqrt{2}}{\sqrt{3}}$ |
| ⑩ $\frac{3 + \sqrt{3}}{\sqrt{2}}$ | | |

(6)の解答群

$$\textcircled{1} \quad \frac{3}{2 + \sqrt{3}}$$

$$\textcircled{2} \quad \frac{4}{2 + \sqrt{3}}$$

$$\textcircled{3} \quad \frac{2}{2 + \sqrt{2}}$$

$$\textcircled{4} \quad \frac{3}{2 + \sqrt{2}}$$

$$\textcircled{5} \quad \frac{1}{2 + 2\sqrt{2}}$$

$$\textcircled{6} \quad \frac{1}{3 + \sqrt{3}}$$

$$\textcircled{7} \quad \frac{2}{3 + \sqrt{3}}$$

$$\textcircled{8} \quad \frac{4}{3 + \sqrt{3}}$$

$$\textcircled{9} \quad \frac{1}{2}$$

$$\textcircled{10} \quad \frac{3}{2}$$

(7)の解答群

① 空欄(1)の解答と同じ

② 空欄(6)の解答と同じ

続いて、時刻 t_3 に 1 段目に衝突した後の小球の放物運動について考える。小球がこの放物運動の最高点に達した時刻を t_4 とすると、時刻 t_1 を用いて $t_4 = \boxed{\textcircled{8}} \times t_1$ である。1 段目に 2 回衝突しないためには落下中の小球の軌道上の $y = h$ における x 座標が $2l$ より大きくなければならない。このことから

$$V > \boxed{\textcircled{9}} \times \frac{l}{t_1} \quad (1-5)$$

を得る。

(8)の解答群

$$\textcircled{1} \quad \sqrt{2}$$

$$\textcircled{2} \quad (1 + \sqrt{2})$$

$$\textcircled{3} \quad (2 + \sqrt{3})$$

$$\textcircled{4} \quad (1 + 2\sqrt{2})$$

$$\textcircled{5} \quad (3 + \sqrt{3})$$

$$\textcircled{6} \quad 2(3 + \sqrt{3})$$

$$\textcircled{7} \quad (2 + 2\sqrt{2})$$

$$\textcircled{8} \quad (2\sqrt{2} + \sqrt{3})$$

$$\textcircled{9} \quad \frac{2 + \sqrt{3}}{2}$$

(9)の解答群

$$\textcircled{1} \quad \frac{1}{2 + \sqrt{3}}$$

$$\textcircled{2} \quad \frac{2}{2 + \sqrt{3}}$$

$$\textcircled{3} \quad \frac{1}{2 + \sqrt{2}}$$

$$\textcircled{4} \quad \frac{2}{2 + \sqrt{2}}$$

$$\textcircled{5} \quad \frac{3}{2 + \sqrt{2}}$$

$$\textcircled{6} \quad \frac{2}{2 + 3\sqrt{2}}$$

$$\textcircled{7} \quad \frac{3}{2 + 3\sqrt{2}}$$

$$\textcircled{8} \quad \frac{4}{2 + 3\sqrt{2}}$$

$$\textcircled{9} \quad \frac{1}{3 + \sqrt{3}}$$

さらに、時刻 t_5 に床の $x \leq 3l$ の範囲に衝突した。時刻 t_1 を用いると、

$t_5 = \boxed{\textcircled{10}} \times t_1$ である。時刻 t_4 後に小球がたどる軌道の $y = 0$ における x 座標が $x \leq 3l$ でなければならないことより、速さ V に関する条件

$$V \leq \boxed{\textcircled{11}} \times \frac{l}{t_1} \quad (1-6)$$

が導出される。

最後に、表 1 を利用すると、(1-4)式、(1-5)式、(1-6)式のすべてを満たす V の範囲は

$$\boxed{\textcircled{12}} \times \frac{l}{t_1} < V \leq \boxed{\textcircled{13}} \times \frac{l}{t_1} \quad (1-7)$$

であることがわかる。

(10)の解答群

$$\textcircled{1} \quad \frac{2 + 2\sqrt{3}}{3}$$

$$\textcircled{2} \quad \frac{2 + 2\sqrt{2}}{2}$$

$$\textcircled{3} \quad \frac{2 + \sqrt{2} + \sqrt{3}}{3}$$

$$\textcircled{4} \quad (2 + \sqrt{3})$$

$$\textcircled{5} \quad (3 + \sqrt{3})$$

$$\textcircled{6} \quad 3(4 + \sqrt{2})$$

$$\textcircled{7} \quad (2 + 2\sqrt{2} + \sqrt{3})$$

$$\textcircled{8} \quad (2 + 4\sqrt{2} + \sqrt{3})$$

$$\textcircled{9} \quad (2 + \sqrt{2} + 2\sqrt{3})$$

$$\textcircled{10} \quad 2\sqrt{2}(2 + \sqrt{2} + 2\sqrt{3})$$

(11)の解答群

$$\textcircled{1} \quad \frac{1}{2 + \sqrt{3}}$$

$$\textcircled{3} \quad \frac{1}{2 + 3\sqrt{2}}$$

$$\textcircled{5} \quad \frac{1}{3 + 2\sqrt{3}}$$

$$\textcircled{7} \quad \frac{2}{2 + 2\sqrt{2} + \sqrt{3}}$$

$$\textcircled{9} \quad \frac{1}{2 + 2\sqrt{2} + 2\sqrt{3}}$$

$$\textcircled{2} \quad \frac{2}{2 + \sqrt{3}}$$

$$\textcircled{4} \quad \frac{2}{2 + 3\sqrt{2}}$$

$$\textcircled{6} \quad \frac{1}{2 + 2\sqrt{2} + \sqrt{3}}$$

$$\textcircled{8} \quad \frac{3}{2 + 2\sqrt{2} + \sqrt{3}}$$

$$\textcircled{10} \quad \frac{2}{2 + 2\sqrt{2} + 2\sqrt{3}}$$

(12), (13)の解答群

① 空欄(4)の解答と同じ

② 空欄(7)の解答と同じ

③ 空欄(9)の解答と同じ

④ 空欄(11)の解答と同じ

表1 a, b, c の値に対する $k = \frac{1}{a + b\sqrt{2} + c\sqrt{3}}$ の近似値

a	b	c	k
2	0	1	0.268
2	1	0	0.293
2	2	0	0.207
2	2	1	0.152
2	2	2	0.121
2	3	0	0.160
3	0	0	0.333
3	0	1	0.211
3	0	2	0.155

問1 3段目にあった小球を x 軸の正の方向に速さ V で打ち出し, 時刻 $t = 0$ に位置 $(0, 3h)$ を通過した後, 2段目及び1段目に1回ずつ衝突し, 時刻 t_5 に地面の $x = 3l$ の位置に衝突した。図1—2に時刻 $t = 0$ から t_5 までのこの小球の運動の軌道をえがけ。また, 時刻 t_1, t_2, t_3, t_4 での小球の位置を黒丸で記入せよ。なお, 図中の縦線は Vt_1 の間隔, 横線は $0.5h$ の間隔で記入されている。必要ならば表1, あるいは $\sqrt{2} = 1.41, \sqrt{3} = 1.73$ を用いること。

2 コンデンサーに関する設問である。空欄(ア)～(キ)の解答は解答用紙(その3)の所定の欄に適切な式または数値を記せ。空欄(14)～(20)にあてはまる最も適切なものをそれぞれの解答群より選び、解答用紙(その1)の該当する記号をマークせよ。コンデンサーの極板間の物体がない部分は真空で、真空中のクーロンの法則の比例定数を $k_0 [N \cdot m^2/C^2]$ 、円周率を π とする。

I

図2-1のように、円板状の極板A、Bからなる平行板コンデンサーと電圧を変えることができる直流電源と $R [\Omega]$ の抵抗が直列につながっている。極板A、極板Bの半径は $r [m]$ 、極板の間隔は $d [m]$ で、 $r \gg d$ である。

初め両極板に電荷が無い状態にあり、その後、直流電源から電圧 $V_1 [V]$ を印加した。電圧を印加した直後に抵抗を流れる電流は (ア) [A] であり、時間の経過とともに電流は減衰し、やがて 0 [A] になり、極板A、Bの電気量はそれぞれ $Q_1 [C]$ 、 $-Q_1 [C]$ となった ($Q_1 > 0$)。電圧を印加し始めたときからコンデンサーの充電が終わるまでの間にコンデンサーにたくわえられた静電エネルギーと抵抗が発したジュール熱は、 Q_1 、 V_1 を用いてそれぞれ、(イ) [J]、(ウ) [J] と書ける。また、この状態で極板Aから極板Bに向かう電気力線の本数が (エ) であることから、極板A、Bの間の電場の強さは、 k_0 、 Q_1 、 r を用いて (オ) [V/m] ($= [N/C]$) と表せる。

続いて、直流電源からの印加電圧を $2V_1 [V]$ に上げて、電流が流れなくなるまで待った。一定となった極板Aの電気量は、(カ) $\times Q_1 [C]$ である。この状態から極板間の距離を $0.5d [m]$ にした。十分に時間が経ち、電流が流れなくなったあとに、コンデンサーがたくわえた静電エネルギーは、 Q_1 、 V_1 を用いて (キ) [J] と表せる。

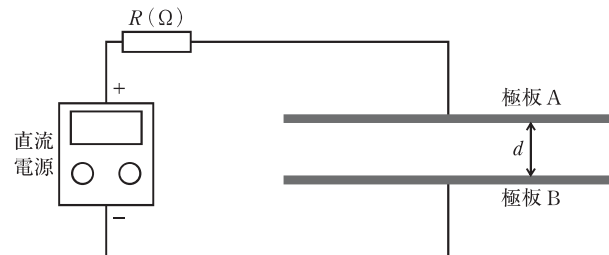


図 2-1

II

図 2-2 のように、間隔が d [m] とともに半径 r [m] の円板状の極板 A, B にそれぞれ Q [C], $-Q$ [C] の電気量をたくわえた、孤立した平行板コンデンサーを考える。ただし、 $r \gg d$ である。 $\epsilon_0 (= 1 / (4\pi k_0))$ を真空の誘電率とするとコンデンサーがたくわえている静電エネルギーは、(14) [J] である。極板 A, B の電気量を保ったまま極板間隔を $d + \Delta d$ [m] までわずかに広くするとコンデンサーがたくわえている静電エネルギーは、(14) \times (15) [J] に増える。静電エネルギーの増加分は極板間隔を Δd 広げる仕事に相当するので、極板の間隔が d [m] のとき、極板間に働くクーロン力による引力の大きさは、(16) [N] であることがわかる。

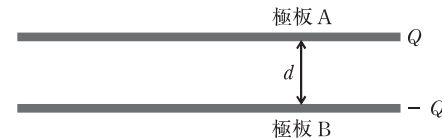


図 2-2

(14), (16)の解答群

- | | | | |
|--------------------------------------|-----------------------------------|-------------------------------------|------------------------------------|
| ① $\frac{Q}{\pi\epsilon_0 r^2}$ | ② $\frac{Q^2}{\pi\epsilon_0 r^2}$ | ③ $\frac{Q}{2\pi\epsilon_0 r^2}$ | ④ $\frac{Q^2}{2\pi\epsilon_0 r^2}$ |
| ⑤ $\frac{Q^2}{2\epsilon_0}$ | ⑥ $\frac{Qd}{\pi\epsilon_0 r^2}$ | ⑦ $\frac{Q^2 d}{\pi\epsilon_0 r^2}$ | ⑧ $\frac{Qd}{2\pi\epsilon_0 r^2}$ |
| ⑨ $\frac{Q^2 d}{2\pi\epsilon_0 r^2}$ | ⑩ $\frac{Q^2 d}{2\epsilon_0}$ | | |

(15)の解答群

- | | | | |
|-----------------------------------|-----------------------------------|-----------------------------|----------------------------|
| ① 1 | ② $\frac{d - \Delta d}{d}$ | ③ $\frac{d + \Delta d}{d}$ | ④ $\frac{d}{d - \Delta d}$ |
| ⑤ $\frac{d}{d + \Delta d}$ | ⑥ $\frac{d - 2\Delta d}{d}$ | ⑦ $\frac{d + 2\Delta d}{d}$ | ⑧ $\frac{\Delta d}{d}$ |
| ⑨ $\frac{d - \Delta d}{\Delta d}$ | ⑩ $\frac{d + \Delta d}{\Delta d}$ | | |

III

図2-3のような装置を用意した。半径 $r[m]$ の円板状の極板A, B からなる平行板コンデンサーとともに開いた状態の2つのスイッチと直流電源をつないだ。極板Aは天井からばね定数が $K[N/m]$ の絶縁体のばねでつながれ、極板Bは固定されている。極板A, Bが電荷をたくわえていないとき、極板の間隔は $d_0[m]$ であった。ただし、 $r \gg d_0$ である。直流電源、抵抗、スイッチ、導線は極板の変位に影響しないように配置されている。以下の実験では極板Aは極板Bに接触することなく常に鉛直上方で極板Bと平行に保たれていた。

まず、スイッチ1を閉じ、スイッチ2を抵抗側につないでから直流電源より電圧 $V_2[V]$ を印加したところ、極板間隔が徐々に縮まり、極板A, Bの間隔が $0.5d_0[m]$ で静止した。このとき、極板Aの電気量は (17) [C] である。また、ばね定数 K は (18) [N/m] と書ける。

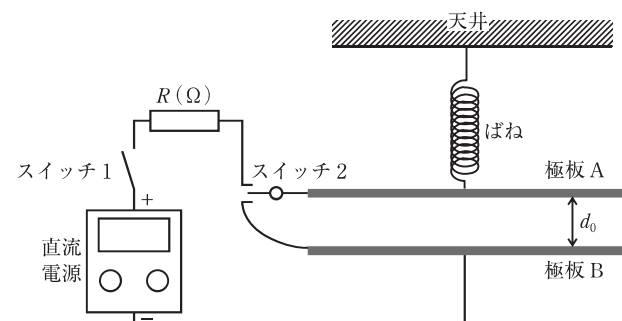


図2-3

(17)の解答群

- | | | | |
|--|--|--|--|
| ① $\frac{d_0 V_2}{\pi \epsilon_0 r^2}$ | ② $\frac{d_0 V_2^2}{\pi \epsilon_0 r^2}$ | ③ $\frac{2 d_0 V_2}{\pi \epsilon_0 r^2}$ | ④ $\frac{2 d_0 V_2^2}{\pi \epsilon_0 r^2}$ |
| ⑤ $\frac{\pi \epsilon_0 r^2 V_2}{2 d_0}$ | ⑥ $\frac{\pi \epsilon_0 r^2 V_2^2}{2 d_0}$ | ⑦ $\frac{\pi \epsilon_0 r^2 V_2}{d_0}$ | ⑧ $\frac{\pi \epsilon_0 r^2 V_2^2}{d_0}$ |
| ⑨ $\frac{2 \pi \epsilon_0 r^2 V_2}{d_0}$ | ⑩ $\frac{2 \pi \epsilon_0 r^2 V_2^2}{d_0}$ | | |

(18)の解答群

- | | | | |
|--|--|--|--|
| ① $\frac{4 \pi \epsilon_0 r^2 V_2}{d_0^3}$ | ② $\frac{4 \pi \epsilon_0 r^2 V_2^2}{d_0^3}$ | ③ $\frac{4 \pi \epsilon_0 r^2 V_2}{d_0^2}$ | ④ $\frac{4 \pi \epsilon_0 r^2 V_2^2}{d_0^2}$ |
| ⑤ $\frac{4 \pi \epsilon_0 r^2 V_2}{d_0}$ | ⑥ $\frac{4 \pi \epsilon_0 r^2 V_2^2}{d_0}$ | ⑦ $\frac{\pi \epsilon_0 r^2 V_2}{d_0^3}$ | ⑧ $\frac{\pi \epsilon_0 r^2 V_2^2}{d_0^3}$ |
| ⑨ $\frac{2 \pi \epsilon_0 r^2 V_2}{d_0^2}$ | ⑩ $\frac{2 \pi \epsilon_0 r^2 V_2^2}{d_0}$ | | |

その後、直流電源の出力を止め、スイッチ1を開き、スイッチ2を極板B側につないで極板A, Bの電気量を0にしたところ、極板の間隔は $d_0[m]$ にもどった。次に、直流電源の代わりに図2-4のように起電力をわからない電池を回路につないだ。電池の内部抵抗は無視できるとする。続いて、半径 $r[m]$ 、厚さ $0.5d_0[m]$ の導体の円板を極板Bの上に密着するように載せて固定した。スイッチ2を抵抗側につなぎ、スイッチ1を閉じてから十分に時間が経ったあと、極板A, Bの間隔は $0.75d_0[m]$ で一定となった。このとき極板Aの電気量は電池の起電力を $V_3[V]$ とすると (19) [C] で、 V_3 は V_2 の (20) 倍であることがわかった。

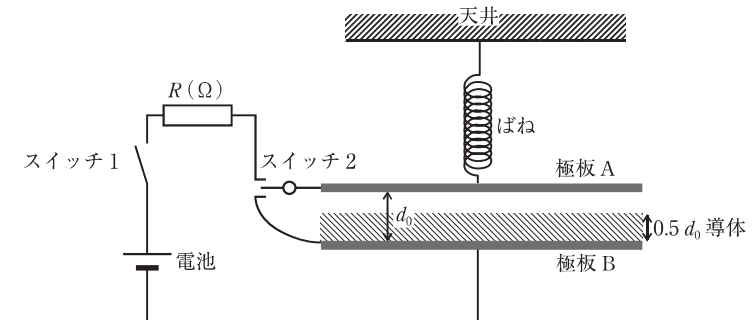


図2-4

(19)の解答群

- | | | | |
|---|--|--|--|
| ① $\frac{\pi \epsilon_0 r^2 V_3}{d_0}$ | ② $\frac{2\pi \epsilon_0 r^2 V_3}{d_0}$ | ③ $\frac{4\pi \epsilon_0 r^2 V_3}{3d_0}$ | ④ $\frac{4\pi \epsilon_0 r^2 V_3}{d_0}$ |
| ⑤ $\frac{8\pi \epsilon_0 r^2 V_3}{d_0}$ | ⑥ $\frac{3\pi \epsilon_0 r^2 V_3}{4d_0}$ | ⑦ $\frac{\pi \epsilon_0 r^2 V_3}{2d_0}$ | ⑧ $\frac{3\pi \epsilon_0 r^2 V_3}{2d_0}$ |
| ⑨ $\frac{\pi \epsilon_0 r^2 V_3}{4d_0}$ | ⑩ $\frac{\pi \epsilon_0 r^2 V_3}{8d_0}$ | | |

(20)の解答群

- | | | | | |
|-----------------|-----------------|------------------------|---------------|------------------------|
| ① 1 | ② 2 | ③ $\frac{\sqrt{2}}{2}$ | ④ $\sqrt{2}$ | ⑤ 4 |
| ⑥ $\frac{1}{2}$ | ⑦ $\frac{1}{4}$ | ⑧ $\frac{3}{4}$ | ⑨ $2\sqrt{2}$ | ⑩ $\frac{\sqrt{2}}{4}$ |

3

以下の文章を読み、空欄(21)～(34)にあてはまる最も適切な解答をそれぞれの解答群から選び、解答用紙(その1)の該当する記号をマークせよ。

弦を伝わる横波の正弦波について考える。変位がないときの弦に沿って x 軸をとる。また、変位は y 軸方向に生ずるとする。時刻 t のときの位置 x における弦の変位を $y = u(t, x)$ と表す。時刻 $t = 0$ における弦の波形が $u(0, x) = -A \sin kx$ であり($A > 0, k > 0$)、また、位置 $x = 0$ における弦の変位の時間変化が $u(t, 0) = A \sin \omega t$ であるとき($\omega > 0$)、波の式は

$$u(t, x) = A \sin(\omega t - kx) \quad (3-1)$$

となる。この波の波長は $\lambda = \boxed{(21)}$ 、周期は $T = \boxed{(22)}$ であり、進行方向は $\boxed{(23)}$ である。時刻 $t = T/4$ のときの弦の波形を表す式は $u(T/4, x) = \boxed{(24)}$ となる。

波の速さ v は弦の線密度(単位長さあたりの質量) ρ に依存することが知られている。また、波長と周期との関係より、 ω と k の間には $\boxed{(25)}$ の関係が成立つ。一方、単位時間あたりに波が運ぶエネルギーは波の「エネルギー流」と呼ばれ、波の強さを表す量として用いられる。この量は、線密度 ρ の弦を伝わる

式(3-1)の波において $I = \frac{1}{2} \rho A^2 \omega^2 v$ で定義される。

(21), (22)の解答群

- | | | | |
|------------|--------------|----------------|-----------------|
| ① ω | ② $1/\omega$ | ③ $2\pi\omega$ | ④ $2\pi/\omega$ |
| ⑤ k | ⑥ $1/k$ | ⑦ $2\pi k$ | ⑧ $2\pi/k$ |

(23)の解答群

- | | |
|-------------|-------------|
| ① x 軸正の向き | ② x 軸負の向き |
| ③ y 軸正の向き | ④ y 軸負の向き |

(24)の解答群

- | | | |
|--------------------------------------|--------------------------------------|-------------------------------------|
| ① $A \sin\left(\frac{kx}{2}\right)$ | ② $A \sin kx$ | ③ $A \cos\left(\frac{kx}{2}\right)$ |
| ④ $A \cos kx$ | ⑤ $-A \sin\left(\frac{kx}{2}\right)$ | ⑥ $-A \sin kx$ |
| ⑦ $-A \cos\left(\frac{kx}{2}\right)$ | ⑧ $-A \cos kx$ | |

(25)の解答群

- | | | |
|------------------------|------------------------|-----------------------|
| ① $\omega = vk$ | ② $\omega = v/k$ | ③ $\omega = k/v$ |
| ④ $\omega = 2\pi\nu k$ | ⑤ $\omega = 2\pi\nu/k$ | ⑥ $\omega = 2\pi k/v$ |

図3-1のように線密度の異なる十分長い二種類の弦が $x=0$ を境界として結合している。領域1($x < 0$)の弦の線密度を ρ_1 、領域2($x > 0$)の弦の線密度を ρ_2 とし、これらの比を $\alpha = \rho_2/\rho_1$ とする。今、領域1から領域2へ入射する正弦波 $u_A(t, x) = A \sin(\omega t - k_1 x)$ を考える。境界 $x = 0$ にて、入射波の一部は反射され、残りは領域2へと透過する。このとき、領域2における波の速さ v_2 は、

領域1における波の速さ v_1 と異なる。 v_1 と v_2 の間には $\frac{v_1}{v_2} = \sqrt{\frac{\rho_2}{\rho_1}}$ の関係がある。

反射波を $u_B(t, x) = B \sin(\omega t + k_1 x)$ 、透過波を $u_C(t, x) = C \sin(\omega t - k_2 x)$ とする。

このとき、 A と B 、 C の間の関係を求める。これには、境界での条件についての考察が必要である。まず、境界の領域1側を考えると、そこでの弦の変位は(26)となる。一方、境界の領域2側を考えると、そこでの弦の変位は(27)となるが、これらは等しくなければならないため(28)の関係式を得る。また、境界におけるエネルギーの保存則から、入射波と反射波、透過波のエネルギー流の間には関係式

$$\frac{1}{2} \rho_1 A^2 \omega^2 v_1 = \frac{1}{2} \rho_1 B^2 \omega^2 v_1 + \frac{1}{2} \rho_2 C^2 \omega^2 v_2 \quad (3-2)$$

が成り立つ。(28)と式(3-2)の関係式を用い、さらに $v_1 = \sqrt{\alpha} v_2$ の関係に留意すると、 $C \neq 0$ の仮定の下で、 $B = (29) A$ 、 $C = (30) A$ と求

めることができる。

$\rho_2 > \rho_1$ のとき、 B 、 C は(31)となり、 A と B の関係より、反射波は(32)とみなせることがわかる。一方、 $\rho_1 > \rho_2$ のとき、 B 、 C は(33)となり、 A と B の関係より、反射波は(34)とみなせることがわかる。



図3-1

(26)、(27)の解答群

- | | |
|---------------------------|---------------------------|
| ① $u_A(t, 0)$ | ② $u_B(t, 0)$ |
| ③ $u_C(t, 0)$ | ④ $u_A(t, 0) + u_B(t, 0)$ |
| ⑤ $u_A(t, 0) + u_C(t, 0)$ | ⑥ $u_B(t, 0) + u_C(t, 0)$ |

(28)の解答群

- | | | |
|---------------|---------------|---------------|
| ① $A = B$ | ② $A = C$ | ③ $B = C$ |
| ④ $A + B = C$ | ⑤ $A + C = B$ | ⑥ $A = B + C$ |

(29)、(30)の解答群

- | | | | |
|---------------------------------|---|---|---|
| ① 1 | ② $\frac{1 - \sqrt{\alpha}}{1 + \sqrt{\alpha}}$ | ③ $\frac{2 + \sqrt{\alpha}}{1 + \sqrt{\alpha}}$ | ④ $\frac{2 - \sqrt{\alpha}}{1 + \sqrt{\alpha}}$ |
| ⑤ $\frac{1}{1 + \sqrt{\alpha}}$ | ⑥ $\frac{1}{1 - \sqrt{\alpha}}$ | ⑦ $\frac{2}{1 + \sqrt{\alpha}}$ | ⑧ $\frac{2}{1 - \sqrt{\alpha}}$ |

(31)、(33)の解答群

- | | |
|------------------------------|-------------------------------|
| ① $B \doteq A, C \doteq 0$ | ② $B \doteq -A, C \doteq 0$ |
| ③ $B \doteq 2A, C \doteq 0$ | ④ $B \doteq -2A, C \doteq 0$ |
| ⑤ $B \doteq A, C \doteq 2A$ | ⑥ $B \doteq 2A, C \doteq 2A$ |
| ⑦ $B \doteq -A, C \doteq 2A$ | ⑧ $B \doteq -2A, C \doteq 2A$ |

(32), (34)の解答群

- ① 境界での自由端反射 ② 境界での固定端反射